

**А. В. Аксенов, А. В. Сарапий, О. А. Антонова<sup>a</sup>, И. В. Боровлев,  
В. И. Гончаров<sup>a</sup>**

**ИССЛЕДОВАНИЯ В ОБЛАСТИ 2,3'-БИХИНОЛИЛА**

**16\*. РЕГИОСЕЛЕКТИВНОСТЬ ВОССТАНОВЛЕНИЯ ИОДИДОВ  
1-АЛКИЛ-3-(2-ХИНОЛИЛ)ХИНОЛИНИЯ И 1,1'-ДИАЛКИЛ-3,3'-  
ДИ(2-ХИНОЛИЛ)-1,1',4,4'-ТЕТРАГИДРО-4,4'-БИХИНОЛИЛОВ  
МЕТАЛЛИЧЕСКИМ ЦИНКОМ, ЛИТИЕМ И КАЛИЕМ**

Реакция иодидов 1-алкил-3-(2-хинолил)хинолиния с избытком цинка в ТГФ приводит к образованию смеси диастереомеров 1,1'-диалкил-3,3'-ди(2-хинолил)-1,1',4,4'-тетрагидро-4,4'-бихинолилов. С избытком лития в ТГФ образуется смесь 1',2'-дигидро-2,3'-бихинолила и 1'-алкил-1',4'-дигидро-2,3'-бихинолила с преобладанием первого. К аналогичным продуктам реакции приводит восстановление литием в ТГФ 1,1'-диалкил-3,3'-ди(2-хинолил)-1,1',4,4'-тетрагидро-4,4'-бихинолилов. Восстановление иодидов 1-алкил-3-(2-хинолил)хинолиния металлическим калием приводит к 1'-алкил-1',4'-дигидро-2,3'-бихинолилам.

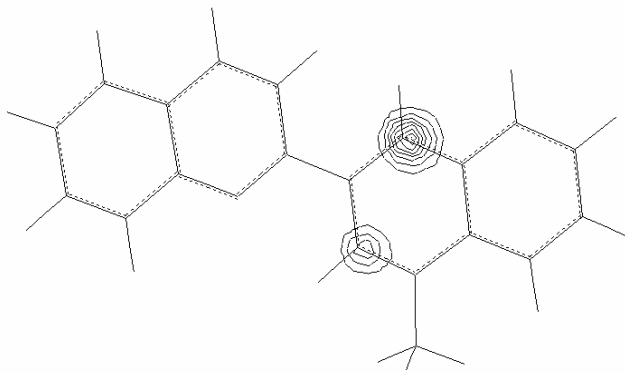
**Ключевые слова:** 1'-алкил-1',4'-дигидро-2,3'-бихинолилы, 1,1'-диалкил-3,3'-ди(2-хинолил)-1,1',4,4'-тетрагидро-4,4'-бихинолилы, 1',2'-дигидро-2,3'-бихинолил, иодиды 1-алкил-3-(2-хинолил)хинолиния, калий, литий, цинк, восстановление.

Ранее [2] мы изучили восстановление 2,3'-бихинолилов и показали, что оно протекает в две обратимые одноэлектронные стадии с образованием анион-радикала и дианиона. Представляло интерес изучить восстановление кватернизированных 2,3'-бихинолилов **1** и сравнить его с восстановлением 2,3'-бихинолилов.

Мы показали, что в отличие от 2,3'-бихинолила электрохимическое восстановление хлорида 1'-метил-3-(2-хинолил)хинолиния (**1a**) протекает в одну необратимую стадию, вероятно, с образованием радикалов **2**, рекомбинация которых приводит к устойчивым димерным соединениям **3** или **4** (схема).

Как показывают расчеты радикала **2a** (рисунок), положением с максимальной спиновой плотностью является **4'**. Следовательно, можно было ожидать образования "димеров" **3**, а не **4**.

\* Сообщение 15 см. [1].

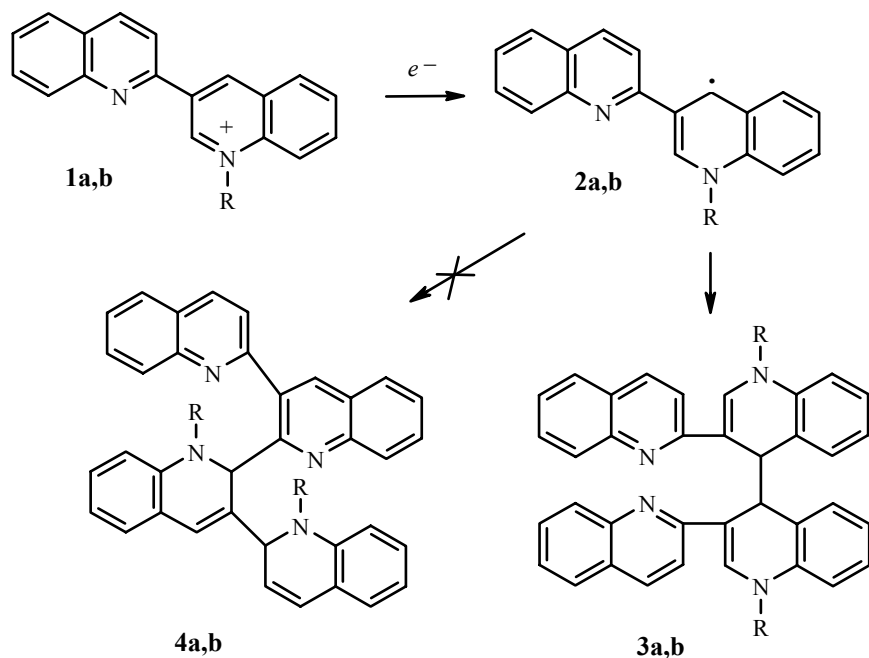


Распределение спиновой плотности в радикале **2a**,  
по данным расчета методом *ab initio*

Химическое восстановление проводили, используя металлический цинк, литий и калий.

Действительно, восстановление солей **1a,b** металлическим цинком в ТГФ приводит к образованию смеси диастереомеров соединений **3a,b**, соотношение которых, определенное методом спектроскопии ЯМР, составляет 4.1:1 (в случае **3a**) и 4.2:1 (в случае **3b**). К сожалению, установить конфигурацию диастереомеров и выделить минорные диастереомеры в настоящее время не удалось.

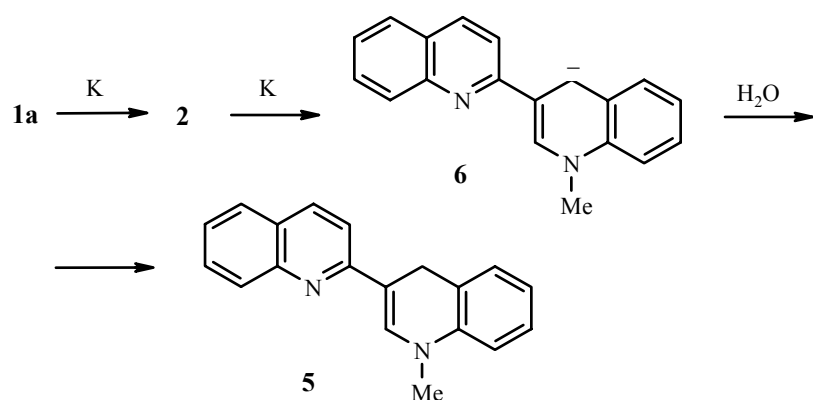
Схема



**1–4 a** R = Me; **b** R = Et

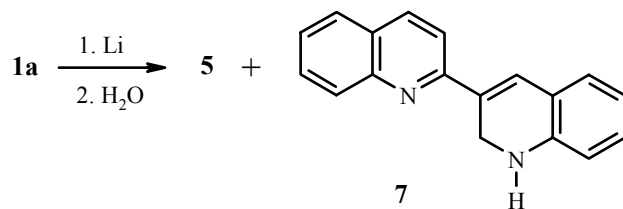
В спектрах ЯМР  $^1\text{H}$  смеси диастереомеров присутствуют сигналы, как основного, так и минорного диастереомера (соответственно **3a**: 2.73 и 2.85 (6H, с,  $\text{CH}_3$ ), 6.65 и 5.04 (2H, с, H-4,4'); **3b**: 0.89 и 1.04 (6H, т,  $\text{CH}_a\text{H}_b\text{CH}_3$ ), 3.16 и 3.19 (2H, д. к,  $\text{CH}_a\text{H}_b\text{CH}_3$ ), 3.26 и 3.32 (2H, д. к,  $\text{CH}_a\text{H}_b\text{CH}_3$ ), 4.75 и 5.08 (2H, с, H-4,4')). При использовании солей **1**, содержащих в положении 4' дейтерий, интенсивность сигналов протонов в положениях 4 и 4' продуктов реакции понижается.

Восстановление соли **2a** металлическим калием в ТГФ приводит к образованию после протонирования реакционной смеси 1'-метил-1',4'-дигидро-2,3'-бихинолила **5** с выходом 84%.

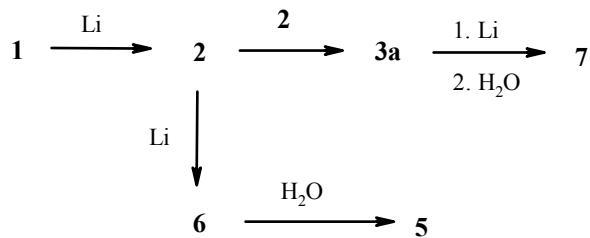


Такое изменение региоселективности при переходе от цинка к калию можно объяснить следующим образом. Калий, обладая более низким потенциалом ионизации, чем цинк способен восстановить радикал **2** до аниона **6**. Протонирование последнего приводит к дигидропроизводному **5**.

Можно было предположить, что металлический литий будет восстанавливать соль **2a** аналогично калию. Неожиданно, в реакции соединения **2a** с избытком металлического лития в ТГФ нами была получена смесь 1'-метил-1',4'-дигидро-2,3'-бихинолила (**5**) и 1',2'-дигидро-2,3'-бихинолила (**7**) с выходом 38 и 51% соответственно.



Вероятно, образующийся в ходе реакции радикал **2** частично восстанавливается до аниона **6**, протонирование которого приводит к дигидропроизводному **5**, а частично происходит рекомбинация с образованием димера **3a**. Дальнейшее восстановление последнего приводит к соединению **7**.



Эта схема подтверждается тем, что восстановление соединения **3a** при комнатной температуре избытком лития в абсолютном ТГФ в течение 1 ч приводит после протонирования реакционной смеси к дигидропроизводному **7** с выходом 68%.

## ЭКСПЕРИМЕНТАЛЬНАЯ ЧАСТЬ

Спектры ЯМР  $^1\text{H}$  записывали на приборе Bruker WP-200 (200 МГц), внутренний стандарт ТМС. Контроль за протеканием реакций и индивидуальностью синтезированных соединений осуществляли на пластинах Silufol UV-254, система растворителей этилацетат–гексан, 1:1. Флеш-хроматографию проводили методом [3] (колонка:  $d = 60$  мм,  $L = 50$  мм), используя в качестве малополярного растворителя бензол, в качестве полярного – этилацетат.

**Восстановление иодидов 1-алкил-3-(2-хинолил)хинолиния (1) металлическим цинком** (общая методика). Смесь 2.5 ммоль соединения **1** и 0.32 г (5 ммоль) цинковой пыли в 10 мл абсолютного ТГФ перемешивают при  $\sim 20$  °C до исчезновения исходной соли ( $\sim 3$  ч). Добавляют 50 мл воды, экстрагируют 3×30 мл бензола. Бензольные вытяжки объединяют, сушат сульфатом натрия, упаривают. Получают смесь диастереомеров соединения **3a** в виде темно-красных кристаллов. Выход близкий к количественному.

Для выделения основного диастереомера смесь диастереомеров разделяют флеш-хроматографией. Первая окрашенная фракция содержит основной диастереомер.

**1,1'-Диметил-3,3'-ди(2-хинолил)-1,1',4,4'-тетрагидро-4,4'-бихинолил (3a)** (основной диастереомер) получают из иодида 1-метил-3-(2-хинолил)хинолиния. Выход 0.434 г (64%). Т. пл. 172–174 °C (из спирта).  $R_f$  0.56 (Silufol UV-254, этилацетат). Спектр ЯМР  $^1\text{H}$  ( $\text{CD}_3\text{CN}$ ),  $\delta$ , м. д. ( $J$ , Гц): 2.73 (6Н, с,  $\text{CH}_3$ ); 4.65 (2Н, с, Н-4,4'); 6.53 (2Н, д,  $J_{7'8'} = 8.25$ , Н-8,8'); 6.82 (2Н, д, д,  $J_{5'6'} = 7.57$ ,  $J_{6'7'} = 7.32$ , Н-6,6'); 7.00 (2Н, д, д,  $J_{5'6'} = 7.57$ ,  $J_{5'7'} = 1.71$ , Н-5,5'); 7.08 (2Н, д, д,  $J_{7'8'} = 8.25$ ,  $J_{6'7'} = 7.32$ ,  $J_{5'7'} = 1.71$ , Н-7,7'); 7.47 (2Н, с, Н-2,2'); 7.48 (2Н, д, д,  $J_{5'6} = 8.05$ ,  $J_{6'7} = 7.32$ , 6-Ar); 7.75 (2Н, д, д,  $J_{7'8} = 8.30$ ,  $J_{6'7} = 7.32$ ,  $J_{5'7} = 1.71$ , 7-Ar); 7.91 (2Н, д, д,  $J_{5'6} = 8.05$ ,  $J_{5'7} = 1.71$ , 5-Ar); 8.06 (2Н, д,  $J_{7'8} = 8.30$ , 8-Ar); 8.30 (2Н, д,  $J_{34} = 8.79$ , 4-Ar); 8.35 (2Н, д,  $J_{34} = 8.79$ , 3-Ar). Найдено, %: С 84.18; Н 5.53; N 10.29.  $\text{C}_{38}\text{H}_{30}\text{N}_4$ . Вычислено, %: С 84.10; Н 5.57; N 10.33.

**1,1'-Диэтил-3,3'-ди(2-хинолил)-1,1',4,4'-тетрагидро-4,4'-бихинолил (3b)** (основной диастереомер) получают из иодида 1-этил-3-(2-хинолил)хинолиния. Выход 0.499 г (70%). Т. пл. 151–153 °C (из спирта).  $R_f$  0.63 (Silufol UV-254, этилацетат). Спектр ЯМР  $^1\text{H}$  ( $\text{CD}_3\text{CN}$ ),  $\delta$ , м. д. ( $J$ , Гц): 0.89 (6Н, т,  $J = 7.15$ ,  $\text{CH}_3\text{CH}_2\text{CH}_3$ ); 3.16 (2Н, д, к,  $J_{\text{сем}} = 14.30$ ,  $J_{\text{CH}-\text{CH}_3} = 7.15$ ,  $\text{CH}_2\text{CH}_2\text{CH}_3$ ); 3.26 (2Н, д, к,  $J_{\text{сем}} = 14.30$ ,  $J_{\text{CH}-\text{CH}_3} = 7.15$ ,  $\text{CH}_2\text{CH}_2\text{CH}_3$ ); 4.75 (2Н, с, Н-4,4'); 6.56 (2Н, д,  $J_{7'8'} = 8.25$ , Н-8,8'); 6.78 (2Н, д, д,  $J_{5'6'} = 7.57$ ,  $J_{6'7'} = 7.32$ , Н-6,6'); 7.92 (2Н, д, д,  $J_{5'6'} = 7.57$ ,  $J_{5'7'} = 1.71$ , Н-5,5'); 7.07 (2Н, д, д, д,  $J_{7'8'} = 8.25$ ,  $J_{6'7'} = 7.32$ ,  $J_{5'7'} = 1.71$ , Н-7,7'); 7.46 (2Н, д, д,  $J_{5'6} = 8.05$ ,  $J_{6'7} = 7.32$ , 6-Ar); 7.55 (2Н, с, Н-2,2'); 7.75 (2Н, д, д, д,  $J_{7'8} = 8.30$ ,  $J_{6'7} = 7.32$ ,  $J_{5'7} = 1.71$ , Ar-5); 8.06 (2Н, д,  $J_{7'8} = 8.30$ , 8-Ar); 8.30 (2Н, д,  $J_{34} = 8.79$ , 4-Ar); 8.37 (2Н, д,  $J_{34} = 8.79$ , 3-Ar). Найдено, %: С 84.22; Н 5.96; N 9.82.  $\text{C}_{40}\text{H}_{34}\text{N}_4$ . Вычислено, %: С 84.18; Н 6.00; N 9.82.

**Методика восстановления иодида 1-метил-3-(2-хинолил)хинолиния (1a) металлическим калием (M1).** Смесь 1 г (2.5 ммоль) иодида 1-метил-3-(2-хинолил)хинолиния и 0.21 г (5.4 ммоль) металлического калия в 10 мл ТГФ перемешивают при кипении до исчезновения исходной соли (2–2.5 ч). Реакционную смесь гасят *tert*-бутанолом. После

чего, добавляют 50 мл воды, экстрагируют  $3 \times 30$  мл бензола. Бензольные вытяжки объединяют, сушат сульфатом натрия, упаривают. Получают оранжевые кристаллы.

**Методика восстановления иодида 1-метил-3-(2-хинолил)хинолиния (1а) металлическим литием (M2).** Смесь 1 г (2.5 ммоль) иодида 1-метил-3-(2-хинолил)хинолиния и 0.21 г (5.4 ммоль) металлического калия в 10 мл ТГФ перемешивают при кипении до исчезновения исходной соли (~2 ч). После чего, осторожно добавляют 50 мл воды, экстрагируют  $3 \times 30$  мл бензола. Бензольные вытяжки объединяют, сушат сульфатом натрия, упаривают. Остаток разделяют хроматографией.

**Методика восстановления 1,1'-диметил-3,3'-ди(2-хинолил)-1,1',4,4'-тетрагидро-4,4'-бихинолила (3а) металлическим литием (M3).** Смесь 0.678 г (1.25 ммоль) смеси диастереомеров 1,1'-диметил-3,3'-ди(2-хинолил)-1,1',4,4'-тетрагидро-4,4'-бихинолила и 0.036 г (5.12 ммоль) металлического лития в 10 мл абсолютного ТГФ перемешивают при комнатной температуре 3 ч. После чего, осторожно добавляют 50 мл воды, экстрагируют  $3 \times 30$  мл этилацетата. Вытяжки объединяют, сушат сульфатом натрия, упаривают. Получают желтые кристаллы.

**1'-Метил-1',4'-дигидро-2,3'-бихинолил (5).** M1: выход 0.571 г (84%). M2: выход 0.258 г (38%), т. пл. 146–147 °C (из спирта). По данным [4], т. пл. 146–147 °C. Проба смешения с заведомо известным образцом не дает депрессии температуры плавления. Спектры ЯМР  $^1\text{H}$  идентичны.

**1',2'-Дигидро-2,3'-бихинолил (7).** M2: выход 0.329 г (51%). M3: выход 0.439 г (68%), т. пл. 271–272 °C (из бензола). Спектр ЯМР  $^1\text{H}$  (ДМФА-d<sub>7</sub>), δ, м. д. (J, Гц): 3.10 (2H, д,  $J_{2\text{-NH}} = 4.4$ , H-2'); 5.89 (1H, уш. д,  $J_{2\text{-NH}} = 4.4$ , NH); 6.48 (1H, д. д. д,  $J_{5'6'} = 7.63$ ,  $J_{6'7} = 7.93$ ,  $J_{6'8'} = 0.91$ , H-6'); 6.76 (1H, д. д,  $J_{7'8'} = 7.95$ ,  $J_{6'8'} = 0.91$ , H-8'); 7.03 (1H, д. д. д,  $J_{6'7} = 7.93$ ,  $J_{7'8'} = 7.95$ ,  $J_{5'7} = 1.52$ , H-7'); 7.29 (1H, д. д,  $J_{5'6'} = 7.63$ ,  $J_{5'7} = 1.52$ , H-5'); 7.49 (1H, д. д. д,  $J_{5'6} = 7.99$ ,  $J_{67} = 7.95$ ,  $J_{68} = 1.45$ , H-6); 7.69 (1H, д. д. д,  $J_{67} = 7.95$ ,  $J_{78} = 8.01$ ,  $J_{57} = 1.51$ , H-7); 7.85 (2H, м., H-5,8); 7.93 (1H, д,  $J_{3'4} = 8.85$ , H-3); 7.98 (1H, с, H-4'); 8.23 (1H, д,  $J_{34} = 8.85$ , H-4). Найдено, %: C 84.00; H 5.30; N 10.70. C<sub>18</sub>H<sub>14</sub>N<sub>2</sub>. Вычислено, %: C 83.69; H 5.46; N 10.85.

*Работа выполнена при финансовой поддержке гранта Президента Российской Федерации для поддержки молодых российских ученых и ведущих научных школ Российской Федерации (грант № МД-51.2003.03).*

## С П И С О К Л И Т Е Р А Т У РЫ

1. А. В. Аксенов, *XTC*, 884 (2003).
2. А. В. Аксенов, И. В. Аксенова, И. В. Боровлев, А. А. Бумбер, А. Ф. Пожарский, Ю. И. Смушкевич, *XTC*, 1391 (1996).
3. Дж. Шарп, И. Госни, А. Роули, *Практикум по органической химии*, Мир, Москва, 1993, с. 193.
4. А. В. Аксенов, Д. В. Моисеев, И. В. Боровлев, О. Н. Надеин, *XTC*, 1084 (2000).

Ставропольский государственный университет,  
Ставрополь 355009, Россия  
e-mail: k-biochem-org@stavsu.ru

Поступило в редакцию 28.01.2004

<sup>a</sup>Ставропольская государственная медицинская  
академия, Ставрополь 355017, Россия  
e-mail: sgma@statel.stavropol.ru